

**Case 35-2010:****A 56-Year-Old Man with Cough, Hypoxemia, and Rash***(N Engl J Med 2010; 363(21):2046-54)*

【患者】56 歳男性 【主訴】咳、低酸素血症、皮疹

【現病歴】患者は入院 9 日前まで健康であった。

入院の 9 日前から、インフルエンザ様のめまい、全身の筋肉痛、悪寒、発汗、極度の疲労感が出現した。翌日には胸部・両側の腋窩に「うるしにかぶれた時のような」発赤・腫脹を伴う皮疹が出現した。皮疹はその後徐々に改善したが、消失はしなかった。乾性咳嗽により、会話に支障をきたすようになった。皮膚掻痒感、鼻漏、咽頭痛は認めなかった。

入院の 5 日前、咳が悪化し、吸気時の鋭い胸骨下の胸痛、口腔内乾燥、食欲低下、倦怠感、浮遊性めまい（臥位で改善）を伴うようになった。翌日、かかりつけ医を受診した。理学所見は正常であり、azithromycin が処方された。

その後、咳は持続・悪化した。痰は伴わないままであった。咳は安静時に改善、労作時・右側臥位で増悪した。疲労感、寝汗が持続し、階段を上ると呼吸困難を覚えるようになった。深呼吸により不快感・咳が引き起こされるようになった。

入院当日 (11/18)、患者はかかりつけ医を再受診した。バイタルサインは体温 36.7°C、血圧 124/70mmHg、脈拍 76/分、呼吸数 12/分、SpO<sub>2</sub> 88-90%(room air)であり、当院 ED に搬送された。

【ROS】体重減少(-), wheeze(-), 嘔気(-), 嘔吐(-), 腹痛(-), 尿路症状(-)

【既往歴】脂質異常症、高血圧、胃食道逆流症、うつ病

【生活社会歴】スペイン生まれ、幼少期にアメリカ合衆国へ移住。居住地はフロリダ→カリブ海沿岸→北東部（現在）と変遷。

5 週間前～3 週間前、アリゾナ州へ旅行した。ホテルに宿泊し、調理された食物のみを食べた。アリゾナでは、砂漠と山間部で 1 日 4 時間乗馬していた。乗馬中に、牛を駆り集めたことがあった。その他、5 ヶ月前に乗馬のためにワイオミング州へ旅行したほか、イギリス・スペインへの渡航歴あり。

結婚しており、妻以外の性的パートナーはいない。職業は建設会社の自営業。猫を飼っている。ノミ・ダニに噛まれた記憶はない。水泳はしていない。

飲酒を中程度。喫煙・違法薬物歴なし。

【家族歴】母親は食道癌で死去。父親はアルコール依存症歴あり。【アレルギー歴】NKDA

【服薬歴】simvastatin, venlafaxine (SNRI), buspirone (抗不安薬)

【入院時現症】体温 36.1°C、血圧 130/70 mmHg、脈拍 72/分、呼吸数 18/分、SpO<sub>2</sub> 90% (room air), 96% (4L O<sub>2</sub>)。口腔粘膜の乾燥を認めた。左中・下肺野および右肺底に crackles を聴取。左で egophony を聴取。両側の脇腹に軽度の麻疹様発疹を認めた。四肢に浮腫・ばち指を認めない。

【検査所見】

[UA] ケトン体(1+) 【電解質】異常なし 【腎機能】異常なし 【心電図】左房肥大、心室内伝導障害

[その他血液生化学所見] Table 1 を参照。 【胸部 X 線】[胸部 CT] Figure 1 を参照。

入院後、診断的手技が行われた（進行の都合上、一部の検査結果を省略しています）。

- Problem list を挙げてみましょう。
- 鑑別診断および必要な検査を挙げてみましょう。

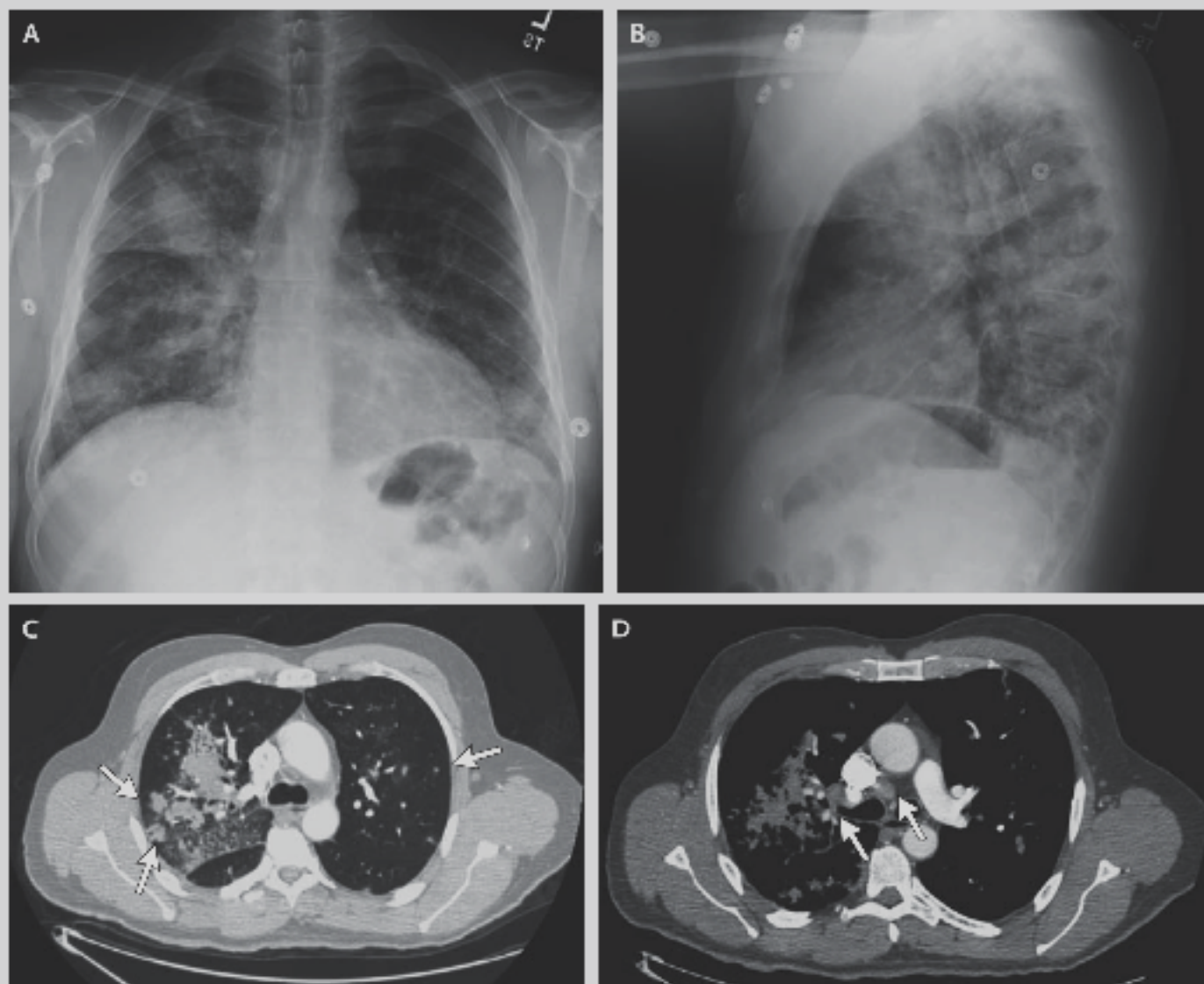
**Table 1. Laboratory Data.\***

Variable	Reference Range, Adults†	On Admission	2nd Day	3rd Day
Hematocrit (%)	41.0–53.0 (men)	41.8	38.3	39.5
Hemoglobin (g/dl)	13.5–17.5 (men)	14.6	13.4	13.3
White-cell count (per mm <sup>3</sup> )	4500–11,000	15,100	16,600	17,000
Differential count (%)				
Neutrophils	40–70	67		68
Band forms	0–10	0		2
Lymphocytes	22–44	8		4
Monocytes	4–11	7		1
Eosinophils	0–8	17		22
Metamyelocytes	0	1		
Atypical lymphocytes	0			3
Platelet count (per mm <sup>3</sup> )	150,000–400,000	327,000	334,000	322,000
Mean corpuscular volume (μm <sup>3</sup> )	80–100	90	89	
Erythrocyte sedimentation rate (mm/hr)	0–11 (men)		72	
D-Dimer (ng/ml)	<500	927		
Glucose (mg/dl)	70–110	60	113	107
Total bilirubin (mg/dl)	0.0–1.0			0.2
Protein (g/dl)				
Total	6.0–8.3			5.7
Albumin	3.3–5.0			2.9
Creatine kinase (U/liter)	60–400 (men)			45
Alkaline phosphatase (U/liter)	45–115			146
Aspartate aminotransferase (U/liter)	10–40			24
Alanine aminotransferase (U/liter)	10–55			59
Lactate dehydrogenase (U/liter)	110–210			215
IgE (IU/ml)	0–100		181	
Galactomannan index‡	<0.5		<0.5	
1,3-β-D-glucan (pg/ml)	<60		<31	
Human immunodeficiency virus antibody	Nonreactive		Nonreactive	
Blood gases while the patient was breathing ambient air				
pH	7.32–7.45		7.43	
Partial pressure of carbon dioxide (mm Hg)	35–50		37	
Partial pressure of oxygen (mm Hg)	40–90		54	

\* To convert the values for glucose to millimoles per liter, multiply by 0.05551. To convert the values for bilirubin to micromoles per liter, multiply by 17.1.

† Reference values are affected by many variables, including the patient population and the laboratory methods used. The ranges used at Massachusetts General Hospital are for adults who are not pregnant and do not have medical conditions that could affect the results. They may therefore not be appropriate for all patients.

‡ A galactomannan index is positive at  $\geq 0.5$ .



**Figure 1. Chest Imaging Studies.**

A posteroanterior chest radiograph obtained on the day of admission (Panel A) shows patchy opacities in both lungs, more extensive in the right lung than in the left lung. A lateral chest radiograph (Panel B) confirms the findings on the posteroanterior radiograph. An axial CT image in a lung window (Panel C) shows a focal consolidation in the right upper lobe and patchy ground-glass opacities in both lungs. There are also scattered nodules (arrows). An axial CT image of a soft-tissue window (Panel D) after the administration of intravenous contrast material shows enlarged right hilar and paratracheal lymph nodes (Panel D, arrows).